

УДК 669.1: 539.538: 539.4.019.3: 537.621.4

Канд. физ.-мат. наук Г. В. Снежной, д-р техн. наук В. Е. Ольшанецкий

Національний технічний університет, г. Запоріжжя

## О СВЯЗИ МЕХАНИЧЕСКИХ СВОЙСТВ ВЫСОКОМАРГАНЦЕВЫХ СТАЛЕЙ С ПАРАМАГНИТНОЙ УДЕЛЬНОЙ ВОСПРИИМЧИВОСТЬЮ АУСТЕНИТА

*Показана связь механических свойств высокомарганцевых сталей с магнитным состоянием аустенитной матрицы, а именно с парамагнитной восприимчивостью  $\chi_0$ . С понижением этого параметра связано повышение предела прочности, ударной вязкости, относительного удлинения (сужения) и снижение ударно-абразивной износостойкости, а также уменьшение микротвердости. Предлагается рассматривать  $\chi_0$  как прогнозирующий индикатор для механических свойств.*

**Ключевые слова:** аустенит, ударная вязкость, удлинение, сужение, износостойкость, растянутая дислокация, мартенсит деформации, парамагнитная восприимчивость.

В работах [1, 2, 3] было показано, что марганец как легирующий элемент оказывает сильное влияние на характер фазовых превращений (включая мартенситные) в сталях аустенитного класса при воздействии на материалы температурно-силовых факторов. При этом в качестве высокоточного индикатора структурных изменений и механических свойств может служить парамагнитная восприимчивость аустенита, которая в качестве высокочувствительной характеристики способна отражать особенности влияния температуры и давления, а также еще и химического состава (т. е. содержания Mn, C, Si и др. элементов) на общее состояние и свойства аустенитной фазы.

Поскольку марганец и углерод являются сильными аустенизаторами, то при варьировании содержания марганца и оценки его влияния на парамагнитную восприимчивость было признано целесообразным подобрать аустенитные материалы с примерно одинаковым содержанием углерода.

Для получения зависимостей типа «механические свойства – удельная парамагнитная восприимчивость аустенита» были выбраны такие показатели свойств, как ударно-абразивная износостойкость, ударная вязкость, относительное удлинение и сужение, а также микротвердость. При этом материалы были предварительно подготовлены с целью получения однородной исходной микроструктуры. Определение парамагнитной восприимчивости аустенита производили на специальной высокоточной аппаратуре [4].

При построении графиков полученных зависимостей (рис. 1–7) были использованы некоторые данные, приведенные в таблице 1, а также результаты, полученные при проведении прямых экспериментов. При этом мы пренебрегали влиянием на свойства аустенита таких примесей, как Cr, Al, P и S, поскольку их содержание в выбранных материалах (стали 110Г8Л, 110Г10Л, 110Г13Л) было таким, что не могло сколько-нибудь заметным образом повлиять на оценку свойств указанных материалов с помощью выбранного параметра-индикатора.

Указанные выше высокомарганцевые стали с различным содержанием марганца были получены в индукционных тигельных электропечах в виде слитков 100×100×200 мм, а затем подвергнуты закалке в воду от 1050 °C (время выдержки при этом составляло 3 часа). Образцы для механических испытаний и магнитометрических исследований вырезали из средней части слитка.

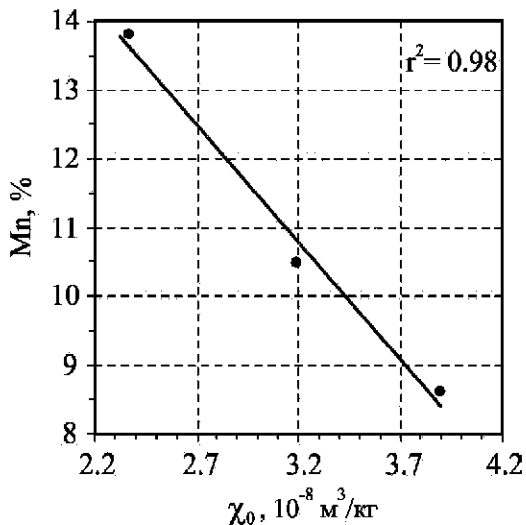
Для определения ударной вязкости (KСU) образцы испытывали на копре МК-30А согласно ГОСТ 9454-78. Испытания на разрыв проводили на машине УРМ-50, а предел прочности при растяжении на разрыв, относительные удлинение и сужение определяли в соответствии с ГОСТ 1497-84. Микротвердость измеряли с использованием прибора ПМТЗ при нагрузке 50 г по стандартной методике. Относительную износостойкость  $K$  после ударно-абразивного изнашивания определяли в лабораторной шаровой мельнице

**Таблица 1 – Химический состав исследуемых аустенитных материалов**

Марка стали	Элемент, масс.-%						
	C	Mn	Si	Cr	Al	P	S
110Г13Л	1,16	13,80	0,76	0,10	0,018	0,092	0,016
110Г10Л	1,19	10,47	0,45	0,01	0,022	0,100	0,015
110Г8Л	1,14	8,60	0,66	0,10	0,019	0,088	0,04

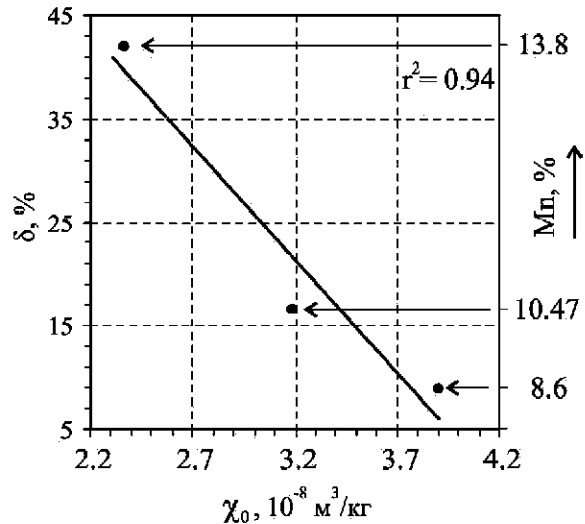
по относительной потере веса эталонного и опытного образцов, а в качестве эталона использовали сталь 20 (деформированный пруток сечением  $10 \times 10 \text{ mm}^2$ ) с химическим составом (масс. %): С – 0,19, Mn – 0,56, Si – 0,26, Cr – 0,25 и твердостью НВ = 126 ед.

Для начала представлялось важным установить зависимость величины парамагнитной восприимчивости  $\chi_0$  аустенита от содержания марганца Mn (рис. 1). На графике видно, что с увеличением содержания марганца параметр  $\chi_0$  уменьшается.

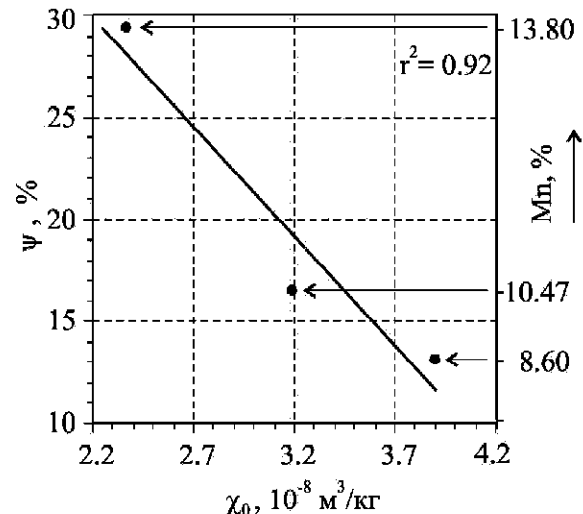


**Рис. 1.** Влияние содержания марганца Mn (при примерных одинаковом содержании других микролегирующих элементов) на магнитное состояние аустенита (параметр  $\chi_0$ ),  $r^2$  – критический коэффициент линейной корреляции

Далее был проведен ряд экспериментов по установлению связей механических свойств от показателя  $\chi_0$ . Зависимости относительного удлинения  $\delta$  и сужения  $\Psi$  от  $\chi_0$  имели вид, представленный на рис. 2 и 3. Как видим, с понижением  $\chi_0$  показатели пластичности ( $\delta$  и  $\Psi$ ) возрастают. Попытаемся объяснить эту особенность в поведении указанных механических характеристик. По литературным данным [5], марганец эффективно понижает энергию дефектов упаковки (в указанном интервале содержания Mn, см. табл. 1). В результате элементарные решеточные дислокации активно расщепляются на частичные, соединенные дефектами упаковки с отличной от аустенита кристаллографической структурой (ГПУ), что облегчает процесс пластической деформации из-за увеличения возможности легкого скольжения (и ослабления эффекта задержки движения дислокаций в плоскостях типа {0001} дефектами Ломер-Коттрелла и Хирта с вершинными частичными дислокациями краевой ориентации) поскольку в случае расщепления отдельных элементарных дислокаций существует возможность перехода растянутых дислокаций в пересекающие плоскости скольжения того же типа.



**Рис. 2.** Зависимость относительного удлинения  $\delta$  от парамагнитной удельной восприимчивости  $\chi_0$  аустенита,  $r^2$  – критический коэффициент линейной корреляции



**Рис. 3.** Зависимость относительного сужения  $\Psi$  от парамагнитной удельной магнитной восприимчивости  $\chi_0$  аустенита,  $r^2$  – критический коэффициент линейной корреляции

Для объяснения связи между ударной вязкостью и парамагнитной восприимчивостью аустенита (рис. 4) нами были использованы данные (рис. 5), касающиеся связи ударной вязкости с относительным удлинением и заимствованные из работы Гуляева А.П. (Металловедение, Издательство: Оборонгиз, Москва 1963). И поскольку ударная вязкость хорошо коррелирует с относительным удлинением (коэффициент корреляции составляет величину  $r^2 = 0,97$ , рис. 5), то все сказанное выше позволяет связать ударную вязкость с параметром  $\chi_0$  посредством оценки последним пластических характеристик материалов.

Интересно отметить, что предел прочности (рис. 6) и относительное удлинение (рис. 2) имеют одинаковую тенденцию изменения от парамагнитной воспри-

имчивости. Это, по нашему мнению, связано с «эффектом  $\alpha$ -латуни», поскольку, как и в случае с цинком, входящим в состав латуней (ЛС90, Л80, Л70), при увеличении содержания марганца существенно уменьшается энергия дефектов упаковки и тем самым облегчается скольжение растянутых дислокаций с одновременным увеличением прочности (благодаря явлению твердорастворного упрочнения аустенита легирующей добавкой марганца).

Следует отметить, что ударноабразивная износостойкость аустенитной фазы изменяется в противоположную сторону относительно характера изменения содержания марганца. Т. е. при содержании Mn 8,6 % этот показатель  $K$  оказывается более высоким, чем при содержании 13,8 % того же элемента. Такой

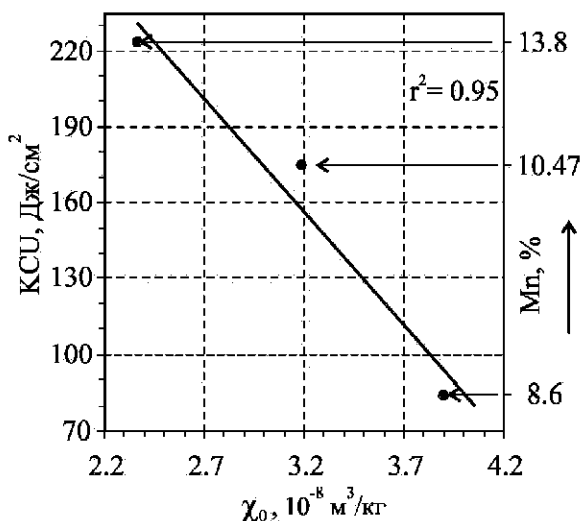


Рис. 4. Залежність ударної вязкості KCU від парамагнітної удельної магнітної восприимчливості  $\chi_0$  аустеніту,  $r^2$  – критичний коєфіцієнт лінійної кореляції

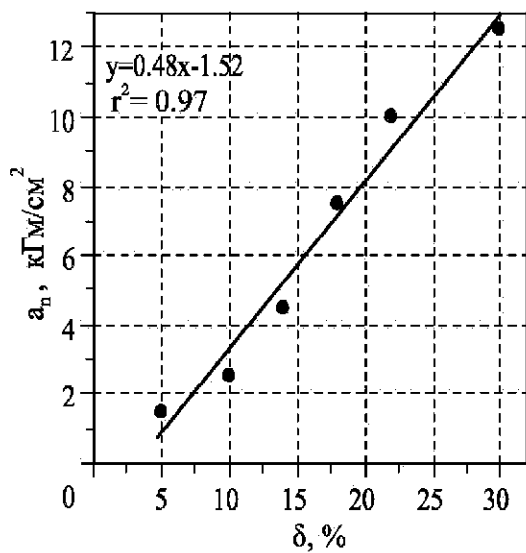


Рис. 5. Свяжь между ударной вязкостью  $a_n$  и относительным удлинением  $\delta$ , заимствованные из работы А.П.Гуляева,  $r^2$  – критический коэффициент линейной корреляции

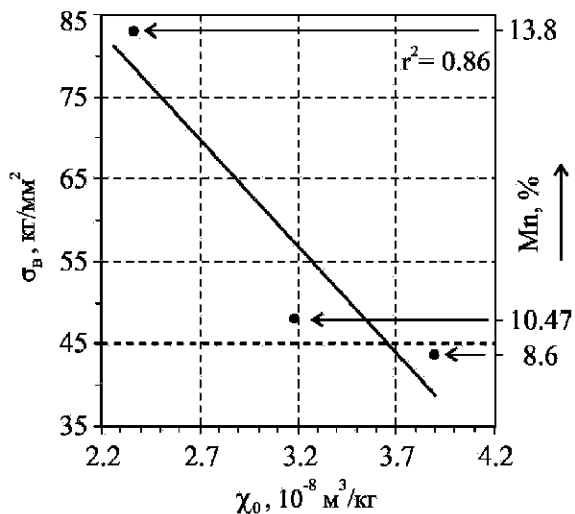


Рис. 6. Залежність предела прочности  $\sigma_b$  від парамагнітної удельної магнітної восприимчливості  $\chi_0$  аустеніту,  $r^2$  – критичний коєфіцієнт лінійної кореляції

неожиданный факт в поведении рассматриваемой механической характеристики можно попытаться объяснить следующим образом. Поскольку, как уже отмечалось выше, марганец уменьшает энергию дефектов упаковки и тем самым способствует расщеплению большого числа полных (элементарных) дислокаций, то это стимулирует процесс переброса скольжения из одной плоскости в другую. Кроме того, в указанной высокомарганцевой стали при ударноабразивном изнашивании практически не образуется мартенсит деформации, что также уменьшает степень наклена поверхностного слоя. При содержаниях же марганца порядка 8,6 %, по-видимому, эффект расщепления полных дислокаций выражен слабее, что благоприятствует накоплению элементарных дислокаций у препятствий с образованием дислокационных клубков и сплетений.

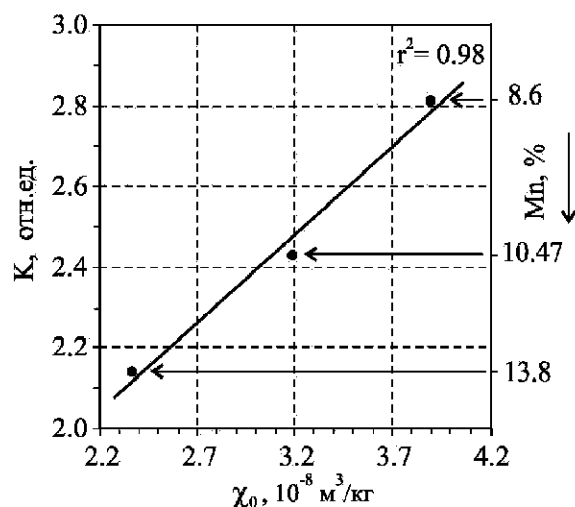
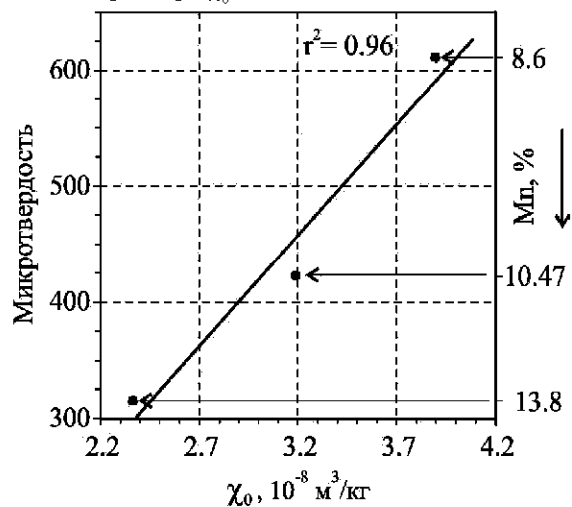


Рис. 7. Залежність ударно-абразивної износостойкості  $K$  від парамагнітної удельної магнітної восприимчливості  $\chi_0$  аустеніту,  $r^2$  – критичний коєфіцієнт лінійної кореляції

Это резко увеличивает твердость поверхностного слоя аустенита, и к тому же в данном случае еще образуются заметные количества очень твердых износостойких участков мартенсита деформации. Структура этого поверхностного (белого) слоя, по всей видимости, становится (при дальнейшем измельчении зерна в процессе деформации) аморфно-кристаллической или, возможно, даже аморфной.

Является исключительно интересной зависимость микротвердости от магнитного состояния аустенита, которая представлена на рис. 8. Как видим, увеличение микротвердости в этом случае обусловлено повышением параметра  $\chi_0$ .



**Рис. 8.** Зависимость микротвердости исследуемых сталей от парамагнитной удельной восприимчивости  $\chi_0$  аустенита,  $r^2$  – критический коэффициент линейной корреляции

Попытаемся объяснить указанную выше связь следующим образом. Поскольку при измерении микротвердости используются нагрузки, приводящие к исключительно малой локальной деформации (при вдавливании индентора), то из-за очень низкой энергии дефектов упаковки должно происходить активное расщепление полных дислокаций, что облегчает их легкое скольжение и повышает тем самым большую глубину проникновения индентора даже при малых нагрузках. При этом, несмотря на заметные длины свободного пробега дислокаций при таких малых локальных деформациях, растянутые дислокации не успевают создать отдельные скопления, которые способны заметно повлиять на микротвердость в направлении ее существенного увеличения.

Исходя из приведенных графиков, можно отметить наличие хорошей корреляционной связи между механическими свойствами и парамагнитной восприимчивостью аустенита, что дает возможность ее использовать в качестве эффективного фактора прогнозирования механических свойств аустенитного материала в зависимости от содержания в нем марганца (при ус-

ловии постоянного содержания углерода и др. элементов-аустенизаторов).

Выбор в качестве критерия оценки свойств именно парамагнитной восприимчивости аустенита (при варьировании в стали содержания марганца) обусловлен еще и тем, что непосредственное экспериментальное определение механических свойств аустенитных материалов часто является исключительно трудоемким, а сопоставляемый им критерий может быть легко установлен с использованием специального высокочувствительного оборудования [4], которое в отличие от магнитометрических весов (метод Фарадея) с униполярно-астатичной системой и механико-магнитным зацеплением призмы [6], содержит бесконтактный высокочастотный преобразователь. При этом отклонение образца под действием магнитного поля определяется по изменению частоты генератора, точность измерения которой составляет 5 Гц. Отметим, что при отклонении образца от нулевого положения на 1 мм частота генератора изменится на 20 кГц, что соответствует точности смещения датчика 25 мкм (т. е. минимальному регистрируемому отклонению от исходного нулевого положения).

Авторы выражают благодарность к.т.н. Сажневу В.Н. за предоставленные материалы и обсуждение результатов.

### Список литературы

1. Ольшанецкий В. Е. О высокоточной оценке истинных мартенситных точек в специальных сталях аустенитного и аустенитно-мартенситного классов при изменении температурно-силовых факторов / В. Е. Ольшанецкий, Г. В. Снежной // Нові матеріали і технології в металургії та машинобудуванні. – 2012. – №1. – С. 15–21.
2. Снежной Г. В. Магнитное состояние аустенитной матрицы и механические свойства высокомарганцевых сталей / Г. В. Снежной, В. Н. Сажнев // Авиационно-космическая техника и технология. – 2012. – № 9(96). – С. 115–120.
3. Ольшанецкий В. Е. О закономерностях формирования мартенситных фаз в марганцовистом аустените при деформации сжатием / В. Е. Ольшанецкий, Г. В. Снежной, В. Н. Сажнев // Нові матеріали і технології в металургії та машинобудуванні. – 2012. – №2 . – С. 8–14.
4. Снежной Г. В. Автоматизирована установка для визначення магнетної сприйнятливості криць та стопів / Г. В. Снежной, С. Л. Жавжаров // збірник наукових праць «Вісник Національного технічного університету України «Київський політехнічний інститут». Серія : Радіотехніка. Радіоапаратобудування. – 2012. – № 49. – С. 136–141.
5. Гольдштейн М. И. Специальные стали. Учебник для вузов / М. И. Гольдштейн, С. В. Грачев, Ю. Г. Векслер. – М. : Металлургия, 1985. – 408 с.
6. Миросниченко Ф. Д. Магнитометрические весы с униполярной астатической системой и механико-магнитным зацеплением призмы / Ф. Д. Миросниченко, В. Л. Снежной // Приборостроение. – 1966. – №2. – С. 48–50.

Одержано 20.09.2012

**Сніжной Г.В., Ольшанецький В.Ю. Про зв'язок механічних властивостей високоманганикових сталей з параметром сприйнятливості аустеніту**

*Показано зв'язок механічних властивостей високоманганикових сталей з магнетним станом аустенітної матриці, а саме з параметром сприйнятливості  $\chi_0$ . Зі зниженням цього чинника пов'язані підвищення границі міцності, ударної в'язкості, відносного подовження (звуження) і зменшення ударноабразивної зносостійкості та мікротвердості. Пропонується розглядати  $\chi_0$  як прогнозувальним індикатором для визначення механічних властивостей.*

**Ключові слова:** аустеніт, ударна в'язкість, подовження, звуження, зносостійкість, розтягнута дислокація, мартенсит деформації, параметрична сприйнятливість.

**Snizhnoi G., Olshanetskyi V. Relationship between high-manganese steel mechanical properties with paramagnetic specific susceptibility of austenite**

*The relationship between mechanical properties of high-manganese steel with a magnetic state of austenite matrix, namely, the paramagnetic susceptibility  $\chi_0$ , was shown. With decrease of parameter  $\chi_0$  tensile strength, impact strength, elongation (narrowing) rises as well as shock-abrasive wear resistance and micro-hardness decrease. Parameter  $\chi_0$  as an indicator for predicting the mechanical properties is proposed.*

**Key words:** austenite, impact strength, elongation, narrowing, durability, stretched dislocation, deformation martensite, paramagnetic susceptibility.

---